外 肵 発 表 論 文 概 要

Computational Design of Trans-Cavitating Propellers and Experimental Evaluation of Their Performance

トランス・キャビテーティング・プロペラの 理論設計とそれらの実験的評価 右近良孝、工藤達郎、藤沢純一、佐々木紀幸 平成 16 年 8 月

Proceedings of 25th Symposium on Naval Hydrodynamics

大型高速フェリーは浅吃水で高馬力船となるため、 プロペラにキャビテーションが発生することが避けら れず、推力低下を生じることがある。この様な状況で 作動するプロペラを高効率プロペラとする方法にトラ ンス・キャビテーティング・プロペラ(TCP)の概念が あり、本論文ではこの TCP の理論設計と実験による TCP の性能確認を行った結果について述べた。

この論文では、サブ・キャビテーションとスーパー・キ ャビテーションの間のトランス・キャビテーション状態で、 作動するプロペラが必要な推力を発生する様に、計 10 個プロペラを設計した。30.6 ノットの船速に対しては在 来型プロペラ(CP)の 3 個を含む 6 個のプロペラ(3 個の TCP)を、35.0 ノットについては4個のTCPを設計した。 このうち、7個のTCPについては、当所が既に開発して いるスーパー・キャビテーティング・プロペラ(SCP)設計 法を改良して開発した TCP の理論設計法を用いて、設計 した。この TCP 設計法では、2 種類の翼型を用い、スー パー・キャビテーション用翼断面を翼端側に、ノン・キャ ビテーション用翼断面を翼根側に配置する。最高効率が 発生する様に2組の高性能翼断面を組み合わせ、シート・ キャビティを性能解析法(SC-VLM3)により理論的に制御 してハイブリッド型プロペラとして設計した。

今回設計された2軸大型フェリー用プロペラについ て、均一流中のみならず船後においてキャビテーショ ン試験を行い、その推進性能を評価した。

均一流中でのキャビテーション試験での実験的評価 では、35.0 ノットの場合、TCP の方が CP より高性能 であった。次に、船後でトランス・キャビテーション 状態で作動するプロペラの効率計測法の開発結果につ いて紹介した。この試験法に基づき、船後キャビテー ション試験を行い、推力、プロペラ効率、変動圧力及 びエロージョンについての性能評価を厳密に実施した。

この結果、30.6 ノットの場合は CP の方がプロペラ 効率及び船尾変動圧力とも TCP より同等か少し良い。 35.0 ノットでは、TCP が最も優れた性能を示したが、 キャンバーを最適制御した CPの1個も高いプロペラ 効率と妥当な船尾変動圧力を与えた。

船用玉形弁の圧力損失低減方法

Techniques to Reduce the Pressure Loss of Marine Globe Valves 伊飼通明、畑中哲夫 平成 17 年 7 月 マリンエンジニアリング 第40巻第4号

船用玉形弁 10K-65A を用いて正逆流の圧力損失の 比較実験を行った。この実験結果から、弁開度 100% の場合の正流の損失係数は 4.09 であるのに対し、逆流 の損失係数は 4.56 である値が得られた。また、圧力損 失は弁体と弁座の開口部の後方(2次側)の弁内形状に 左右されることが解り、圧力損失の低減方法として、 2 次側の弁内形状(図 1 の矢印)を変更して圧力損失を 低減できる形状を数値解析より求めた。数値流体解析 から変更モデルで最も低減できたモデルの損失係数は 原型の 6.02 に比較して 4.90 であった。一方、1 次側 を球状に形状変更すると圧力損失が増加することも解 り、1次側での形状変更で圧力損失を低減させるには、 図2に示す高圧弁のような形状にしなければならない ことも解った。しかし、高圧弁の形状は質量増加につ ながり本研究の軽量化の趣旨に反するから採用できな い。まとめとして、2 次側形状変更の圧力損失低減方 法は、玉形弁が多数使用される船舶配管系での省力化 につながると考える。

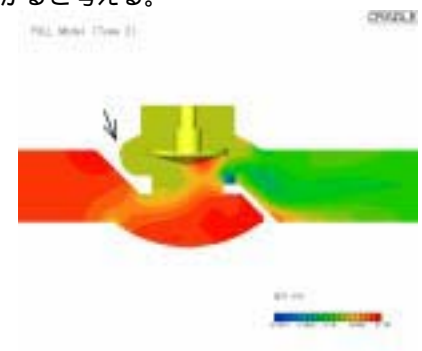


図1 2次側を形状変更した玉形弁

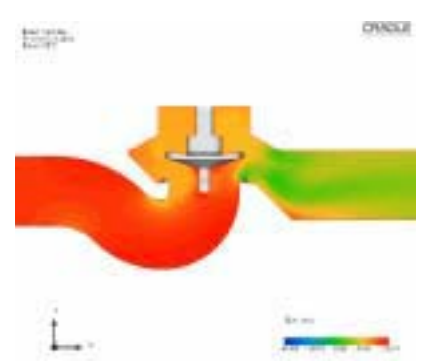


図2 1次側がパイプ状の高圧弁の流体解析結果

高分解能衛星画像を用いた船舶の観測

Observation of Ships Using High Resolution Satellite Imagery 池本義範

> 平成 17 年 3 月 日本航海学会論文集第 112 号

最近の高分解能地球観測衛星の一つであるIKONO S衛星では、パンクロマチック画像で1m、マルチスペクトル画像で3.3m程度の空間分解能が得られ、乗用車程度の物体が識別可能である。これらの画像を用いることで、レーダーネットワーク等で識別できない大きさの船舶を把握できる可能性がある。

船種を識別するためには、画像から得られる色彩情報・形状情報を利用して識別する必要がある。本研究では、衛星画像から船種ごとの識別を行うために、必要となる基礎データの蓄積を目的としている。

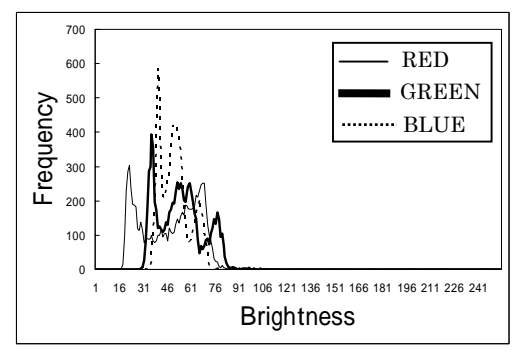
本稿では、高分解能衛星画像の例としてIKONOS衛星の画像を用い、衛星画像中の船舶の画像の特性をその色彩に注目して調べた。手順と結果を以下に示す。

- (1) 東京港、横浜港、神戸港のマルチスペクトル画像のデータを用いて、船種の見分けの付きやすい船舶の画像を切り出し、波長ごとのレベル値のヒストグラムと統計値を作成・整理した。これを降順に並べたところ、コンテナ船・ばら積み船については、波長ごとの標準偏差と平均値の序列に特徴が見られた。
- (2) 画像中の長さの基準となる対象物(ここでは、コンテナ)から、1画素当たりの長さを推定し、コンテナ船のおよその全長と最大幅を求めた。
- (3) 海面の反射成分を用いて、衛星画像から船舶の画像を抜き出すことが出来た。

以上から、高分解能衛星による画像からの船舶の判別手法の一つとして、色彩による判別が、利用できることを示した。



ばら積み船画像の例



ばら積み船の各波長輝度レベル ヒストグラム例

マイクロ気泡流れの気泡分布計測と摩擦低減

Measurement of Bubble Distribution in Microbubble Flow with Frictional Drag Reduction

柴田将志、川村徳男、川島久宜、加藤洋治 平成 17 年 3 月

機械学会 関東学生会 第 44 回 学生員卒業研究発表会 講演論文集

マイクロバブルにより摩擦低減効果が生じる要因として、気泡の大きさ、吹出し量、形状、分布などが考えられる。一般に、気泡含有率はボイド率(単位体積当たりの空気量)として評価されてきたが、マイクロバブル流れのように不均一に気泡が分散する系では、局所的なボイド率計測が必要であると考えられる。

そこで本研究では、局所ボイド率計測器の一つである光学式ボイド率計(図 1)を使用してボイド率分布計測を行う。また、この機器を使用するに当たり、小型流路を用いた可視化計測と同時に併用することで特性を明らかにする。

可視化実験と比較すると、光学式ボイド率計の出力は、計測原理に基づいた条件では、高精度に計測できることがわかった。また、従来問題となっていた不明確な出力信号の原因は、センサ部を通過する気泡が、センサ部に衝突し、通過しない為であることがわかった。さらに、本計測器の出力信号を用いて気泡径の推定を行い、同時撮影を行った可視化画像と比較を行った。その結果、気泡が完全にセンサ部を通過する場合に推定される気泡径は可視化による計測結果を概ね推定できることを示した(図 2)。さらに、本計測によって得られた知見をもとに、長尺模型船を用いた摩擦抵抗低減効果試験でボイド率計測を行った。



図 1 光学式ボイド率計測器先端部

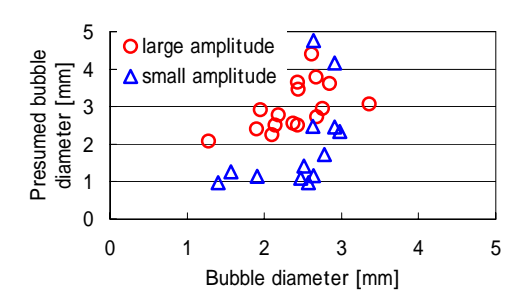


図 2 光学式ボイド率計を用いた推定気泡径と 可視化結果との比較

気泡半径運動に対する熱的減衰効果の新たな次元 縮約モデル(第1報: 摂動解析)

A New Reduced-Order Model for the Thermal Damping Effect on Radial Motion of a Bubble (1st Report, Perturbation Analysis) 杉山和靖、高木周、松本洋一郎 平成 17 年 4 月 日本機械学会論文集 B編 71巻

変動を伴う圧力場中における気泡の運動は、キャビ テーションを伴う流体機械、超音波造影などで問題と なる。これらの解析には気泡の半径方向の運動、すな わち、気泡の膨張・収縮運動の予測が重要である。気 泡半径運動は気泡内部の熱的効果に大きく依存するが、 気泡内部の熱的効果を考慮するには、温度の空間分布 を解く必要があり、多数の気泡を扱う数値解析では、 計算時間が莫大となる。本研究では、気泡内温度の空 間分布を解く代わりに、気泡半径運動に対する熱的減 衰効果を時間のみに依存する関数として定式化し、次 元を縮約するモデルを開発している。本論文では、気 泡内平均温度と温度拡散の浸透厚さを利用して気泡壁 温度勾配をモデル化する方法を提案した。さらに、弱 非線形理論が成り立つ駆動圧力振幅が十分に小さい条 件下で、音場中の気泡半径運動の摂動解析を行い、気 泡内温度の空間分布を陽に考慮した摂動解と比較する ことで、本モデルの数学的な合理性を詳細に議論した。 これらの結果、熱的効果を物性値として扱うモデルや、 既存の浸透厚さを用いるモデルよりも、本モデルの方 が大局的に優れていることを明らかにした(下図参照)。

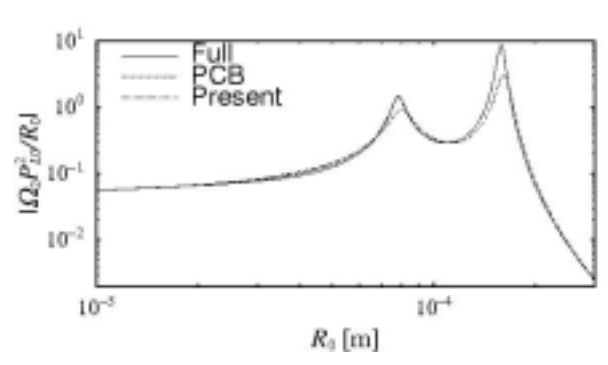


図:気泡半径振幅の第二高調波成分と初期気泡径 Ro の関係(駆動周波数=20kHz. -: 気泡内温度を考 慮したモデル;・・: 従来の次元縮約モデル (Preston et al., 2002, Proc. of ASME FEDSM, FEDSM2002-31026); - · ·: 本モデル)

気泡半径運動に対する熱的減衰効果の新たな次元 縮約モデル(第2報:数値シミュレーションによる モデルの検証)

A New Reduced-Order Model for the Thermal Damping Effect on Radial Motion of a Bubble (2nd Report, Validation of the Model by Numerical Simulation) 杉山和靖、高木周、松本洋一郎 平成 17年5月 日本機械学会論文集 B編 71巻

変動を伴う圧力場中における気泡の半径運動は、キャビ テーションを伴う流体機械、超音波造影などで問題となる。 気泡半径運動は気泡内部の熱的効果に大きく依存するが、 気泡内部の熱的効果を考慮するには、温度の空間分布を解 く必要があり、多数の気泡を扱う数値解析では、計算時間 が莫大となる。本研究では、これまで、変動圧力場中の気 泡半径運動の熱的減衰効果に関して、気泡内温度の空間分 布を解く代わりに、時間のみに依存する関数で記述する次 元縮約モデルを提案した。そして、弱非線形理論解析を行 い、従来の次元縮約モデルに対する本モデルの優位性と数 学的な合理性を示した。本論文では、数値シミュレーショ ンを用いて、本モデルの検証を行うとともに、気泡の自由 振動や、気泡運動の非線形が強い問題など、モデル導出の 前提とは異なる種々の条件で本モデルの適用性を議論し た。その結果、いずれ場合においても、従来の次元縮約モ デルに対する本モデルの優位性を示した(下図参照)。この ことから、本モデルは高い汎用性があると考えられる。

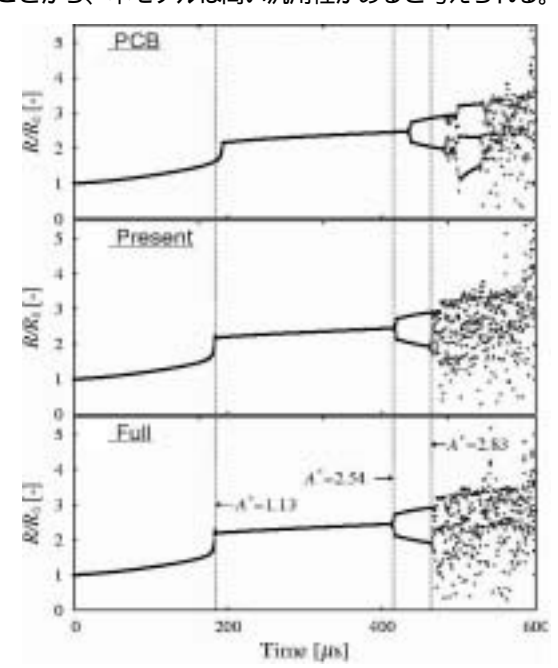


図:気泡半径の分岐図(初期気泡半径 Ro=1µm, 駆動 圧力周波数 fa=3.06MHz, 大気圧で規格化した圧 力振幅 A*=f_d t/500. PCB: 従来の次元縮約モデル (Preston et al., 2002); Present: 本モデル; Full: 気泡内温度を考慮したモデル)

Self-Preservation Property of Methane Hydrate Pellets in Bulk in Ship Cargo Holds During Sea-Borne Transport of Natural Gas

ばら積み貨物としてのメタンハイドレート ペレットの海上輸送中における自己保存性について 城田英之、疋田賢次郎、中島康晴、太田進、岩崎徹 平成 17 年 6 月

Proceedings of 5th International Conference on Gas Hydrates

天然ガスハイドレートペレット(NGHP)の専用輸送船を設計する際には、輸送中のペレットができるだけ分解しないような最適温度を決定する必要がある。このため、本研究ではまず 50 個のメタンガスハイドレートペレット(MHP)を対象として、その自己保存性と温度との関係を実験的に調べた。その結果、-20 付近に MHP の自己保存性の高くなる温度があることが分かった。この結果は、三井造船及び大阪大学で単一ペレットを用いて行われた実験結果と定性的な傾向が一致していた。

ばら積み貨物としてのペレットは航海中に自重による静的圧縮荷重を受ける。そこで、次に、静的荷重がペレットの自己保存性に及ぼす影響について調べた。MHPが受ける最大圧縮荷重を、想定輸送船の主要目及びIGCコードの船舶動揺に関する簡易加速度計算式から求め、この荷重を1リットルのMHPに5日間加える実験を行ったところ、その自己保存性は圧縮荷重を全く加えない場合とほとんど変わらなかった。この実験結果から、航海中の自重によるペレットの分解はほぼ無視できるものと考えられる。

さらに本研究では、航海中のばら積みペレットが荒 天下で動的圧縮荷重を受ける場合に自己保存性が悪化 するかどうかについても調べた。静止時に船倉底にか かると想定される静的圧縮荷重に加え、片振幅 0.32G(2Hz)の繰り返し荷重を 1,000~10,000 回かけ た場合には、繰り返し荷重の有無によって MHP の分 解に有意な差は見られなかったが、繰り返し荷重の回 数が100,000回に達するとその影響が無視できないと いう結果となった。ただし、波の周期を8秒とした場 合、100,000 回という繰り返し荷重回数は荒天下を約 9日間航海する状況に相当する。NGHP輸送船がこの ような荒天下を一週間以上連続して航海することは一 般的に考えられないため、通常航海においてばら積み 貨物としてのペレットが受ける動的圧縮荷重がその自 己保存性を悪化させることはないと考えても良いと結 論できる。

Design of Active Control System for Combustion Instability Using Mixed H²/H[∞] Algorithm

混合 H²/H∞アルゴリズムを用いた燃焼不安定に 対する能動制御システムの設計 佐藤博文 サル サ魚原 岩型に 素海 佐

佐藤博之、林光一、井亀優、岸武行、春海一佳、 立花繁、ローラン・ジマー、小川哲 平成 17 年 3 月

Proceeding of the 6th Symposium on Smart Control of Turbulence

希薄予混合燃焼方式はガスタービン用燃焼器において、低 NOx 排出等の環境負荷低減と高熱効率を同時に達成可能であるが、不安定燃焼を生じやすく、運転範囲が限られるという問題がある。本研究では、この不安定燃焼の中でも振動燃焼や燃焼騒音、すなわち、熱音響的振動に対して、2次火炎を用いて能動的に制御することを試みた。

制御アルゴリズムとしてH²アルゴリズムとH アルゴリズムを混合して用いた。H²は制御性能を発揮しやすく、H²はロバスト性を保証できる。本研究では両者の優れた特長を効果的に生かすように制御システムを設計し、宇宙航空研究開発機構に設置されたスワーラ型希薄予混合燃焼器に適用した。

予混合気生成用空気温度 $700 \, \mathrm{K}$, 予混合気平均流速 $90 \, \mathrm{m/sec}$ 、当量比 $0.5 \, \mathrm{o}$ メタン - 空気予混合燃焼での 強い振動燃焼(約 $170 \, \mathrm{d}$ B)を制御対象とした。まず、上 記条件における燃焼システムのシステム同定実験を行った。同定されたモデルに基づき混合 $\mathrm{H^2/H^{\circ}}$ コントローラを設計した。そのコントローラの性能はあらかじ めシミュレーションにより評価され、その有効性が確認された。その後、実際に上記条件で燃焼騒音の制御実験を行い、燃焼騒音の音圧レベルが高い $280 \, \mathrm{Hz}$ 近傍において、制御を行わない場合に比べ、制御により $28 \, \mathrm{d}$ B の音圧レベルの低減が確認された。

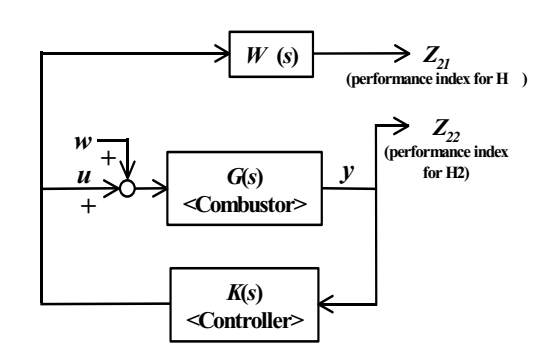


図: H²/H[∞]混合制御のブロックダイアグラム

Characteristics of Current Generators of Deep-Sea Basin

in National Maritime Research Institute

潮流発生装置の特性について

前田克弥、田村兼吉、田村秀行、城野清治、 山口茂幸

平成 17 年 4 月

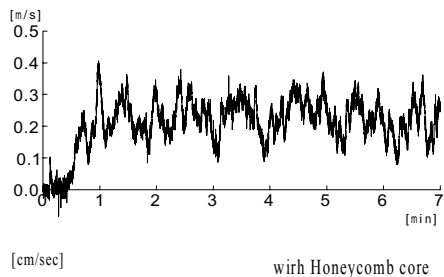
Proceedings of 2nd International Workshop on Applied Offshore Hydrodynamics (第2回応用海洋流体力学に関する国際ワークショップ)

本論文は、当所深海水槽に備えられている潮流発生 装置について検討を行った結果である。

潮流発生装置は深海水槽の円形水槽部とピット部に それぞれ 1 式づつ備えられており、はじめに、発生さ せた潮流について検討を行った。その結果、ピット部に 備えられている潮流発生装置については概ね良好な潮 流を起こすことが出来、模型実験に用いることが可能で あることが確認できたが、円形水槽部に備えられている ものについては、潮流の速度変化が大きく、模型実験に は適用出来ない結果となった。そこで、潮流発生装置に ついて模型試験を行い、その機構について検討を行い、 1)吹き出し口の改造、2)設置場所の自由度を上げる、の 2点を行う必要があることが明確となった。 さらに吹き 出し口については、潮流速度を上げるための工夫が、速 度変化に大きな影響を与えることが把握できたため、潮 流速度を上げることよりも、整流を起こすことに重点を おいて模型実験により吹き出し口の検討を行った。

それらの模型実験を通して、新たに製作・設置され た潮流発生装置の特性を再度、検討し、模型実験に耐 えうる良好な結果を得ることができた。

本検討結果を元に、今後、深海水槽内により実海域 に近い速度プロファイルを持つ潮流を再現できるよう に施設整備を進めていく方針である。



30 20 120 time[sec]

図: 改造前と改造後の潮流速度の時系列 (上図:改造前、下図:改造後) 本改造により、潮流速度変動分が50%から10%以下に 抑えることができるようになった。

Dissolution of CO₂ Hydrate Films on Surface of CO₂ Drops in Highly Pressurized Water

高圧水中の CO2 液滴表面における CO₂ハイドレート膜の溶解 中島康晴、城田英之、小島隆志、山根健次、 綾威雄、波江貞弘 平成 17 年 6 月

Proceedings of 5th International Conference on Gas Hydrates

火力発電所などから排出される二酸化炭素(CO2)を 分離・回収し、水深 3,500m 以深の深海底に貯留する CO₂深海貯留は、地球温暖化抑制技術の一つとして注 目されている。著者らは、大型高圧実験装置を用いて、 低温・高圧条件下において、水中に CO2 液滴を貯留す る実験を行い、液滴の表面に生成した CO2 ハイドレー ト膜の溶解速度を検討している。これまでの研究から、 溶解速度は周囲における流れや擾乱により大きく影響 されることが示されている。本報では、溶解実験にお いて液滴付近における流速を測定し、流れ場中におけ る溶解速度を推定するための代表的な式の1つである ランツ・マーシャルの式から溶解速度を推定し、実験 結果との比較を行った。

実験に使用した大型高圧タンクは、内径 1.1m、深さ 3.0m の円筒型高圧容器であり、高圧ガスを使用する場合 の最大耐圧は40MPaである。タンクには回流装置が付属 され、内部に流れを発生させることが可能である。タンク 内部には熱電対、熱膜式微流速計、pH センサ、モニター カメラ等が設置され、圧力、温度、流速、pH、内部映像 等のデータが記録される。実験では、タンク内に清水を満 たし、温度・圧力を所定の条件に調整した後、約 2kg の CO2液滴を2日間にわたって静置した。タンク内の平均温 度は 279K、圧力は 30MPa であった。CO₂ ハイドレート 膜の溶解速度は、タンクの底に 5cm×5cm のメッシュを 切ったシートを敷き、その上に静置した液滴の直径の変化 を映像で観察することにより求めた。回流装置の運転条件 を調整し、液滴付近での流速が 1.0mm/s 及び 4.0mm/s と なる条件で実験を行った。pH は、タンク内の底面付近及 び底面から高さ 17.5cm の位置において測定された。

測定された溶解速度は、流速 1.0mm/s の条件では、 実験開始時から約 10 時間までは予測された溶解速度 とほぼ一致したが、それ以降は予測よりも小さくなり、 時間の経過とともにその格差は拡大した。また、流速 4.0mm/s では、実験開始初期から予測よりも小さい値 となった。pH 測定により、CO2液滴付近における pH は実験開始直後から急激に低下し、流速の増大ととも にその変化が促進されることが示された。以上の結果 から、CO2 ハイドレートの溶解とともに液滴周辺にお ける CO2 濃度が上昇し、やがて液滴の溶解が抑制され ること、その影響は流速の増大により促進されること が示唆された。

流出油回収移送時の高粘性油の管摩擦抵抗

The Pressure Drop Through Pipe During
Transfer of Visscous Recovery Oils
上田浩一、山之内博
平成 17 年 5 月
第 73 回マリンエンジニアリング学術講演会

回収された流出油等の移送を考慮した、高粘性油の 管摩擦抵抗について述べる。流出した油を回収する場 合や、沈没した船から燃料油や貨物油を回収移送する 場合には、油が高粘性になると管摩擦抵抗が大きく移 送が難しくなる。特にポンプの吸引側は高粘性になる と吸引し難いので、吸引側のパイプは短くして抵抗を 少なくする必要がある。この実験では、計測部の長さ は 4m で内径 16mm と 42mm のステンレスパイプを 使用した。タンク内を真空にして油を吸引し、その後 タンク内を加圧して油を送り出した。この時のパイプ の入り口圧力と出口圧力の差圧を計測し、管摩擦抵抗 を求めた。さらに水流中に油を挿入して移送した場合 の管摩擦抵抗を計測した。この結果を、すでに開発さ れている管摩擦抵抗低減方法のデータから計算した、 管摩擦係数と比較した。粘性係数が 0.7Pa・s から 1,000Pa・s の油と水を使用した。

油の粘性が比較的大きい場合について管摩擦抵抗を調べた結果では、管摩擦抵抗は理論値と良く合うことが確認できた。この場合,管摩擦抵抗が大きくなり、管内の流量が非常に少なくなる。高粘性油の管内流れの管摩擦係数 は、レイノルズ数 Re が 10 から 0.01 程度で =64/Re に良く合う。管摩擦抵抗係数は 10 から5,000 で大きい。

水流中に油を注入して移送する方法は簡単に管摩擦抵抗を低減できる.そこで水流中に油を注入して移送する場合の管摩擦抵抗について調べた。水流中に油を挿入すると、管摩擦抵抗係数を 0.085 程度に低減できる。すでに開発されている環状水膜法による計算では、管摩擦抵抗係数は 0.258 程度となった。油用ポンプを使用しないで、吸引パイプ及び押し出しパイプを短くし、真空と加圧により回収、移送する方法は高粘性油を移送し易い。水流中に 50%程度の油を挿入して、管摩擦抵抗を少なくして移送量を多くすることができる。超高粘性油を水流に注入して移送する場合、流れによる油水の混合は少ない。

Statistical Characteristics of Winds and Waves Around Japan

日本近海の波と風の統計的性質 辻本勝、石田茂資 平成 17 年 6 月

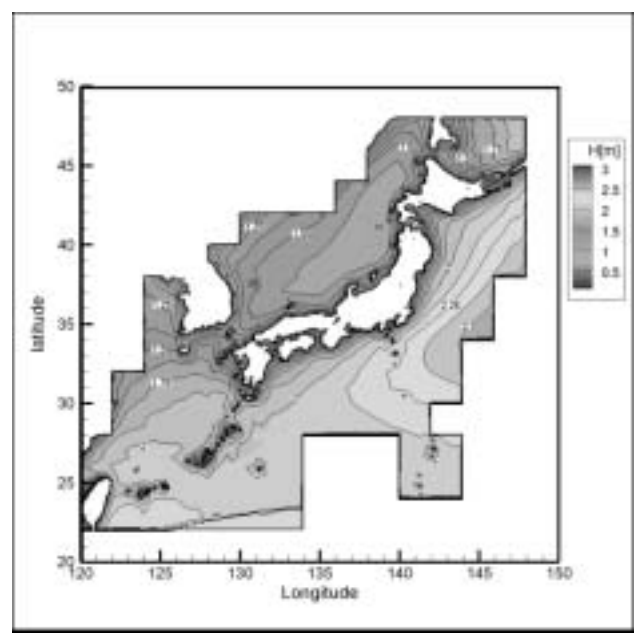
Proceedings of the 15th International Offshore and Polar Engineering Conference (ISOPE2005)

10 年間分の波浪推算結果を用いて日本近海の波と 風データベースを構築した。このデータベースは有義 波高、有義波周期、卓越波向、平均風速、平均風向の 要素からなる。他データベースに比べ、海域区分が 0.5 度間隔と詳細であり、発現頻度表の形で統計解析され ていること、有義波高 - 有義波周期 - 卓越波向の 3 相 関発現頻度表が使用できること、航路に沿って発現頻 度表を作成することが可能であることが特徴である。

このデータベースと他データベース、ブイ観測データとの比較により統計的性質の検証を行い、特に問題ないことを確認した。

本データベースを用いて、日本近海の波と風の統計解析を行い、得られた平均値等値線より、津軽海峡西部が日本海で有義波高が大きい海域であること、三陸沖で有義波高、平均風速の通年平均値が大きいこと、また、10⁻² 超過確率の等値線より、沖縄南東沖で大波高を生じる確率が高いこと、三陸沖で強風を生じる確率が高いことが示された。

この他にも津軽海峡西部及び伊豆諸島海域について 極値統計解析を行い、有義波高、平均風速の再現期間 に対する期待値を示し、日本海側と太平洋側で傾向が 異なることを示した。



有義波高の等値線図(通年平均)

New Estimation Method of Wind Forces Acting on Ships on the Basis of Mathematical Model 成分分離モデルに基づく船体に作用する風圧力 の新推定方法

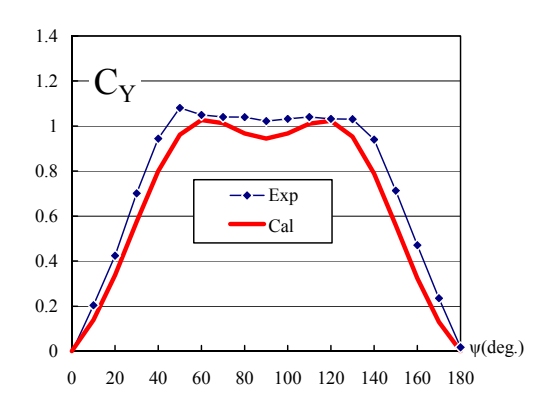
藤原敏文、二村正 平成 17 年 6 月

Proceedings of the 15th International Offshore and Polar Engineering Conference (ISOPE2005)

港湾域で低速航行する船への風の影響は非常に大き い。運航安全性を確保するために風圧力を正確に推定す ることは重要である。また、定常航行時の船の斜航や当 て舵を誘起する風の影響を精度良く推定できれば、船体 抵抗増加量から正確な運航経済性評価が可能となる。

本稿では従来の推定法よりも広範な船型に対して精 度良く風圧力(ただし、風圧モーメントを除く。)を求 める方法の提案を目的とし、推定式を構成する要素の 物理的意味合いが明確な成分分離型モデルによる風圧 力推定法を検討する。ここでは、船体に作用する前後 風圧力が揚力、誘導抗力、前後方向粘性抗力により、 また、横風圧力が揚力、誘導抗力、クロスフロー抗力 の線形足し合わせにより成り立つと仮定する。その上 で各要素を船体外形状から求められる全長、船幅、船 体側面投影面積等の8係数を使った多変量回帰式で表 現する。要素を構成するパラメータの選択には、回帰 分析の1手法である逐次法を利用し、統計的に有意な 組み合わせを求める。

結果として、最も推定精度の高かった著者らの級数 展開表現による風圧力推定法よりも少ない船型パラメ ータ及び独立変数で同程度の推定精度を保証する方法 を提案することができた。さらに、本方法の特徴とし て推定式構成要素の物理的意味合いが明確になってい ることから、今後の風圧力研究の進展により、個別に 要素ごとの検討が可能となった。



Ro-Ro 船の風圧横力係数の実験値と推定値の比較

CRP ポッド型推進器を装備した船の操縦性能 について

On the Manoeuvrability of a Ship with CRP Podded Propulsion System 原口富博、榧野純、塚田吉昭 平成 17年6月 日本造船学会講演会論文集第5号

スーパーエコシッププロジェクトでは、CRP ポッド 型推進器を装備した船舶の開発を行っている。ポッド 推進器を装備した船舶で特にポッド推進器1基を装備 した船舶は、保針性能が悪くなる傾向がある。これは ポッド推進器を装備するために船尾に大きな空間を必 要とすることに起因する。この保針性能の改善を目的 に船尾に補助舵を装備した船舶について模型試験を行 い、その操縦性能を調べた。さらにこの運動を表すモ デル化を試みた。ここでは模型試験結果とその運動モ デルによる推定結果について報告している。

模型船はタンカーであり、設計満載状態で試験を行 っている。また、装備された補助舵に加えて CRP ポ ッドの下にはフィンを装備しており、その面積を変え た大小2種類のフィンでの試験を行っている。

模型試験は、当所の 80m 角水槽で自由航走模型を用 いて旋回試験、逆スパイラル試験、Z 試験を行った。 試験状態としては、ポッド単独(補助舵の角度 0°)、舵 単独(ポッドの旋回角0°)、ポッドと舵を同時に同方向 に操作する場合(ポッドの旋回角と舵角の比は、1:1/2、 1:1、1:2 の 3 種類)を行った。その試験結果例を下図に 示す。

さらに、この船の操縦性能を表すモデルの作成を試 み、模型試験結果との比較検討を行った。

これらの結果をまとめると次のようになる。

- (1) ポッドと舵を用いた旋回性能は、同じポッド角に 対して舵角が大きいほど良くなる。
- (2) ポッド下フィンのサイズは大きいほどZ操縦試験 でのオーバーシュート角は小さくなる。
- (3) 今回の操縦運動推定法で推定した結果は、実験で 用いた船のスパイラル特性を良く表している。

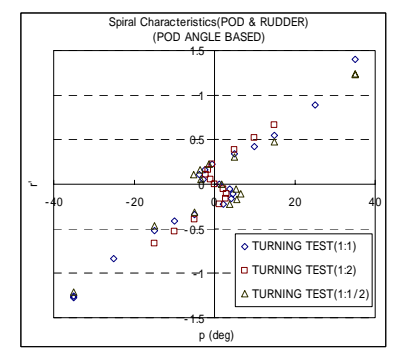


図:スパイラル特性

(p:ポッド角、r':無次元旋回角速度)

エマルジョン燃料の排気ガス特性に与える 燃料噴射系の影響

Influence of Fuel Injection System on Emission Characteristics from Medium-Speed Marine Diesel Engine with Emulsified Fuel 西尾澄人、菊地正晃、石村惠以子 平成 17 年 5 月

第73回マリンエンジニアリング学術講演会

本年(2005年)5月から船舶からの大気汚染防止に関する規制が発効されることとなり、今後、この規制は厳しくなっていくものと考えられる。このような中、舶用ディーゼル機関においては、機関調整だけでは対策が困難になり、何らかの形で水を使用することが予想される。この1つの方法である水エマルジョン燃料の使用において、燃料噴射ノズルの噴孔径、噴射ポンプランジャー径を変更した実験を行い、燃焼や排ガスへの影響を調べたのでこの結果について報告する。

エマルジョン燃料の効果には、 ミクロ爆発、 着火遅れ、 空気の取り込みによる局所空気過剰率の増大、 水による燃焼温度の低下、 単位期間に噴射される燃料油(C 重油またはエマルジョン燃料)が同じ場合、水の分だけ油の割合が減少することによる燃料噴射期間の増加などがある。今回は、 の油の噴射率の違いによる燃料噴射期間の違いに着目して、燃料噴射ポンプのプランジャー径とノズルの噴孔径を次のとおり変えて、C 重油及びエマルジョン燃料(水/C 重油:約17.6%)を用いて実験を行った。

噴射率小(20mm、0.28mm×7孔) 噴射率大(22mm、0.32mm×7孔)

(燃料噴射ポンププランジャー径、ノズル噴孔径)

使用したディーゼル機関は、中速 4 サイクル・トランク ピストン型過給機関(350PS、420rpm、3 気筒)である。

今回の実験の結果は、C 重油での実験においてはクランク角度あたりの油の噴射率が小さい方が筒内圧力も滑らかになり、NOx が少ない結果であった。

エマルジョン燃料の実験においては、NOx 排出率 (g/kWh)を算出した結果、噴孔径および燃料噴射ポンププランジャー径を大きくしクランク角度あたりの噴射率を大きくした方が NOx 低減率が大きくなる結果であった(エマルジョンでは C 重油に比べて約 10%のNOx 低減)。

エマルジョン燃料は、エンジンにより NOx 低減効果も異なり、また、燃料消費率についても燃焼期間の短縮により低減するという報告もあり、まだ不明な点もある。また、エマルジョンの使用により PM 排出量がどうなるかについても今後課題になると思われる。

今後は、エマルジョン燃料で、ノズル噴孔径を変えて、タイミングリタードともからめて、NOx 低減効果をあげ、上記の不明な点を検討するための研究を行う予定である。

波浪推算値による日本近海の波と風の統計的性質

Statistical Characteristics of Winds and Waves Around Japan Based on Numerical Forecast Data

辻本勝、石田茂資 平成 17 年 6 月

日本造船学会講演会論文集第5号

日本近海の50億件に達する10年間分の波浪推算値を統計解析し、海域は緯度・経度0.5度間隔に、期間は月別に区分し発現頻度表の形でデータベースを構築した。このデータベースは有義波高、有義波周期、卓越波向、平均風速、平均風向の5要素からなり、各2要素の発現頻度表及び有義波高-有義波周期-卓越波向の3相関発現頻度表が使用できる。

本データベースを用いて、日本近海の有義波高の平均的傾向、及び超過確率が 10⁻² となる有義波高の値を 各地点で求め、その等値線より比較的荒れた状態を表現し、その傾向を示した。

また、航行海域の海象の評価を行うことは内航船の 安全性を評価するために重要であるので、限定近海貨 物船の航行区域、沿海区域、瀬戸内海、平水区域(東京 湾、陸奥湾、七尾湾、鹿児島湾)における海象の評価を 有義波高 H の超過確率 O を用いて行った。

その結果、限定近海貨物船の航行区域、沿海区域に対し、 平水区域は同一超過確率に対する有義波高が小さいが、平水 区域間ではほぼ同等の特性を表した。また、瀬戸内海は平水 区域に対して、同一超過確率に対する有義波高の値が大きい。

そこで、瀬戸内海から有義波高が高いと考えられる 紀伊水道以南の海域を除き解析を行った結果、瀬戸内 海から紀伊水道以南を除いた海域では平水区域と同等 の有義波高、平均風速の特性を示すことが分かった。

このことから、うねりの影響により、瀬戸内海の紀伊水道以南の海域では、瀬戸内海の他の海域とは海象の特性が異なることが明らかとなった。

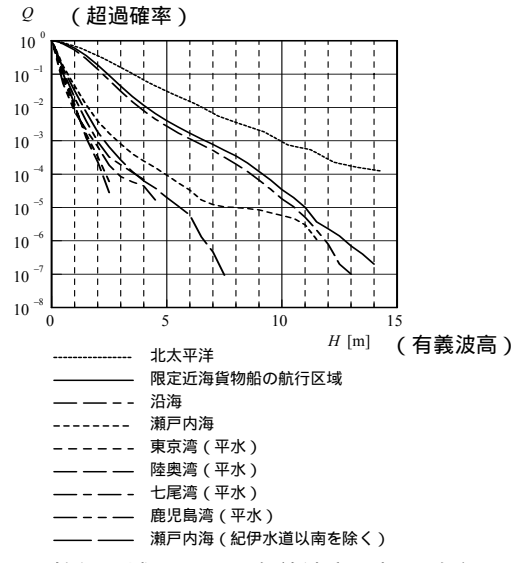


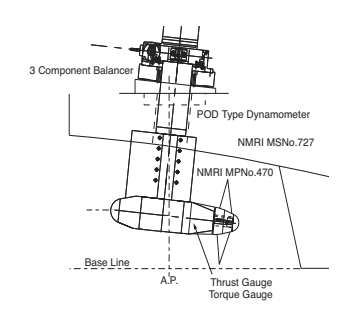
図:航行区域における有義波高の超過確率

ポッド推進船の推進性能推定

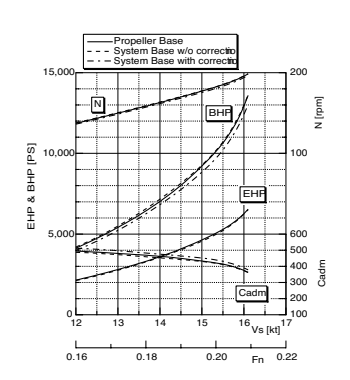
Prediction of Propulsive Performance of a Pod Propulsion Ship 藤沢純一、右近良孝、長谷川純 平成 17 年 6 月 日本造船学会講演会論文集第5号

最近、我が国でもポッド推進船が建造されるように なってきたが、推進性能、特に馬力計算や尺度影響に 関する実験的研究の公表例は少ない。推進試験法や実 船馬力推定法がまだ確立されていないこともあり、国 際試験水槽会議(ITTC)でもポッド・プロパルサの試験 法や、実船の推進性能予測法に関して議論が行われて いる。本論文では、ポッド・プロパルサ船の推進性能 を推定する上で最も重要な役割をなすポッド・プロパ ルサの単独性能の推定を模型レベルと実船レベルで行 い、海技研で実施した 26,000DWT プロダクトキャリ アーのバトックフロー船型に関する模型試験結果を元 に馬力推定計算を行った。

更に、水槽試験結果を基にポッド推進船の推進性能 の解析法であるプロペラ・ベース法とシステム・ベー ス法による馬力推定計算結果を比較した。また、ポッ ド・プロパルサに対する尺度影響の有無を考慮した馬 力推定計算を行い、尺度影響による予想される馬力の 違いを示した。



供試模型船とポッド・プロパルサ



プロペラ・ベース法とシステム・ベース法による 馬力推定結果

ケミカルタンカーの環境汚染レベルの主成分分析

Environmental Pollution Level on Chemical Tanker by Principal Component Analysis 宮田修、間島隆博、上田浩一、山之内博、柴田清、 山口勝治

平成 17年 5月

第73回マリンエンジニアリング学術講演会

国際海事機関(IMO)では、ベンゼンを0.5%以上含む物質 を海上輸送する時、TWA(Time Weighted Average)で 1ppm、STEL(Short Term Exposure Limit)が5ppmを 越える場合は乗員への保護具の装着を勧告している。 本報告では、当所で計測したケミカルタンカーの作業 環境濃度に基づき、作業環境濃度に影響する項目間の 相関係数を求め、主成分分析を行った。分析結果から、 ケミカルタンカーの環境汚染レベルを高める要因にい ついて検討した。

作業環境濃度の実船計測は、 ケミカルタンカーの輸送サイ クルの作業区分(積み荷役・航 海・揚げ荷役・タンククリー ニング)毎に行われ、表 - 1 に 示すデータを取得した。そこ で、作業区分毎と輸送サイク ル全体のデータについて、表 - 1 に示す項目間の相関係数 による主成分分析を行った。

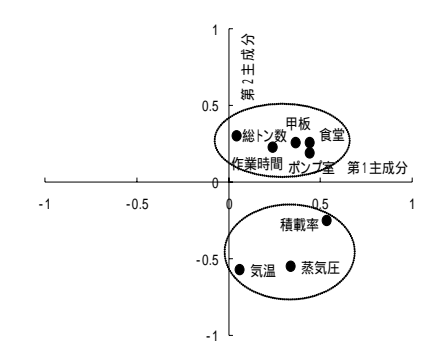


注2)積載率=積載量/満載積載量 注3)作業時間は、各荷役にかかった時間。

ケミカルタンカーの輸送サイクル全体の分析結果を 図 - 1 に示す。各項目は 2 つのグループに分かれ、第 1 第 2 主成分の代表的項目は積載率と気温であること が分かった。(図中の表は相関係数)

> 百百 蒸気圧 1.000 気温 0.395 総トン数 -0.231 1.000 -0.021 1.000 積載率 0.477 1.000 1.000 作業時間 0.050 0.138 食堂 0.072 -0.242 -0.004 0.227 0.038 0.114 1 000 ポンプ室 0.042 -0.022 0.010 0.185 0.456 甲板 -0.049 -0.116 0.137 0.278 0.169 0.182

輸送サイクル全体(異常値を除く)



輸送サイクル全体の 図 - 1 分析結果

日本船舶のリスク解析

Risk Analysis of Japan Flagged Ships 金湖富士夫、河合崇 平成 17 年 6 月 日本造船学会講演会論文集第 5 号

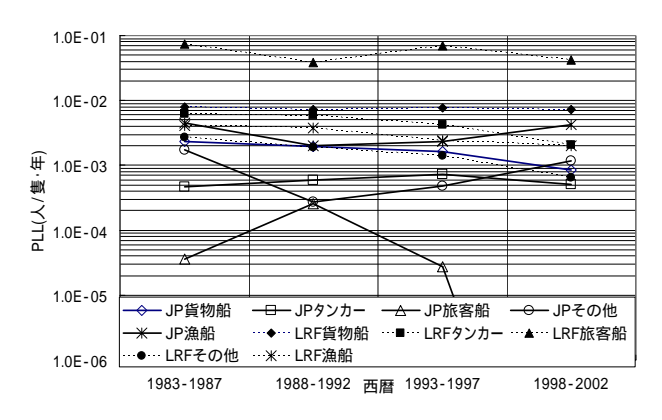
日本船舶のリスク評価を行い、他交通モード、労働 災害、国際航行船舶等と比較してその特徴および注意 すべき点を示した。調査期間は 1983 年から 2002 年の 20 年間である。

リスクとは安全の指標であり、事故の発生頻度と事 故時の被害強度との積により求められる。被害として は、人命損失、環境影響、財産の喪失があるが、ここ では乗船している人命損失を被害とする。

リスク評価の結果以下の諸点が見出された。

- ・1993-2002 年の日本船舶のリスクは 1983-1992 年の リスクに比べて一部のグループ(20GT 以上の漁船 等)を除き低下している。
- ・100GT 以上の船舶においては貨物船、タンカー、旅客船は国際航行船舶と比較してはるかに安全である。特に旅客船では規模、頻度ともに日本船舶が極めて安全である。しかし、漁船は同等か若干リスクが高い。
- ・内航旅客船は航空機、バス・タクシーに比べてリスクが低く、また、内航貨物船も自動車全体およびトラックに比べてリスクが低い。また内航貨物船は全産業の平均に比べて高いが、建設業、鉱業のリスクと同程度である。

よって現状の日本船舶の安全性は概ね日本では社会的に許容できる範囲内であることが判明した。



日本船舶と国際航行船舶のリスク(PLL)

タンカーの漏油リスクについて

Oil Spill Risk of Tankers 金湖富士夫、有馬俊朗 平成 17 年 6 月 日本造船学会講演会論文集第 5 号

タンカー事故による環境に対するリスクすなわち漏油リスクの評価を LRF(Lloyds Register Fairplay)社による海難データベースを使って実施した。尚、被害強度の指標は、各種パラメータを総合的に勘案する必要があると考えるが、第一段階として漏油量を使い、漏油リスク(OSR:Oil Spill Risk)を定義した。OSR の単位は(Kilo Litter/Ship*Year)である。用いたデータは1978年~2003年の26年分である。OSR を用いた漏油リスク評価の結果以下の諸点が見出された。

- ・単船殻タンカー、二重船殻タンカーとも前半(1978~1990)より後半(1991~2003)で大幅に OSR が減少している。また、前後半とも単船殻タンカーより二重船殻タンカーの方が OSR が桁違いに小さい。前後半とも、単船殻タンカーで高リスクの3位までのハザードは衝突、座礁、火災・爆発である。DHでは前半は衝突、座礁であり、後半は衝突の OSRが他より桁違いに大きく、その後戦争等による損傷、座礁と続く。
- ・FN(Frequency vs Number of fatality)曲線によると、単船殻タンカーの後半の FN 曲線は形は前半のものと大差なくそれを左下に移動させた形をしており、被害強度、発生頻度とも後半は前半より低下している。二重船殻タンカーの後半はどの被害強度でも累積頻度が小さくなる。また、被害強度が 100KL 以上では二重船殻タンカーの FN 曲線よりも傾斜が急であり、二重船殻タンカーの 100KL 以上の漏油をもたらす事故は漏油量が大きくなるにつれ単船殻タンカーより大幅に事故の発生頻度が減少している。
- ・事故発生から最終状態に至るイベントシーケンスの解析よると、単船殻タンカーでは衝突、損傷の後に爆発が生じ大量の漏油が発生するケースがわずかながらあるが、漏油量が桁違いに大きく、無視できない。初期イベントが衝突、座礁、接触の場合は発生数、漏油ともに多い。二重船殻タンカーでは燃料タンクが関係した事故シナリオの総数は6種類計7本で全て漏油を引き起こしており、燃料タンク関連の漏油の頻度が相対的に高い。

大水深ライザーの材料選定に関する研究 - 海水環境下における Ti-6Al-4V 合金の疲労き 裂伝播特性について -

A Study on Materials Selection of Marine Riser for Deep Sea

- Fatigue Crack Propagation Properties of Ti-6Al-4V Alloy in Seawater -丹羽敏男、田中義久、高橋一比古、田村兼吉 平成 17 年 5 月

第73回マリンエンジニアリング学術講演会

水深 4,000m の大水深ライザーでは、ハングオフ状 態において自重の問題やライザーの縦振動固有周期と 波周期の共振問題が懸念されることから、その材料と しては比重が小さいほど有利となる。したがって、チ タン合金やアルミニウム合金、複合材料といった鋼以 外の材料についてもその有効性を検討する必要がある。 また、VIV(渦励起振動: Vortex-Induced Vibrations) やハングオフ時の縦振動等による動的荷重や海底から のガス噴出を考慮すると、海水環境下ならびに高温お よびカソード防食を施した海水環境下における疲労き 裂伝播特性を把握する必要がある。特に、チタン合金 は比較的新しい金属材料であり、これらのデータは未 だ十分とは言えない。そこで、本研究では、Ti-6Al-4V 合金を供試材として上記の海水環境下における疲労き 裂伝播特性を把握し、以下の結果が得られた。

- 1) 大気中では、鋼と比較して疲労き裂伝播速度にお よぼす応力比(R)の影響は顕著であり、高応力比である R=0.7 では、高張力鋼(KA32 ならびに KA40)のおよそ 10 倍の疲労き裂伝播速度であった。また、25 の海水 中の疲労き裂伝播特性は、大気中の特性と同程度であ ることが確認された。このことより Ti-6Al-4V 合金の 疲労き裂伝播特性は、鋼より劣ることが確認された。 2) カソード防食を施した 25 の海水環境下(R=0.7) において、-0.8V(vs. SCE(飽和甘こう電極: Saturated Calomel Electrode))の場合、疲労き裂伝播速度におよ ぼすカソード防食の影響はほとんど認められないが、 -1.2V(vs. SCE)の場合には疲労き裂面に水素化物が形 成されるため、くさび効果により疲労き裂伝播速度が 遅くなる(寿命で2割程度延命)ことが確認された。
- 3) -1.2V(vs. SCE)でカソード防食を施した 80 の海 水環境下(R=0.7)では、水素の拡散速度が速く材料全体 に水素化物が形成され、材料の脆化のため疲労き裂伝 播速度に加速効果が現れるものと考えられたが,本研 究で実施した負荷条件ではその効果以上に疲労き裂面 における水素化物の形成が活発になることでよりくさ び効果が顕著に現れ、海水温度が25 の場合よりもさ らに疲労き裂伝播速度が遅くなり、高張力鋼のそれと 同程度となることが確認された。

NOx 排出率計測における誤差要因

Error Sources in NOx Emission Measurement 柴田清、大橋厚人、平岡克英、高木正英、高井元弘 平成 17 年 5 月

第73回マリンエンジニアリング学術講演会

MARPOL73/78 条約附属書 、NOx テクニカルコード で規定される NOx 排出率のモニタリング法によれば、排 ガス中 NOx 濃度測定に加え、排ガス組成と燃料消費量の 物質収支から排ガス流量を算出し、NOx の排出量を求め、 それを機関出力で除し、さらに温湿度補正を加えて出力当 たりの排出量としての「NOx 排出率」を算出する。この ように「NOx排出率」計測値は多くの因子の影響を受け、 計測誤差の積み重なったものとなり、実際にも大きなバラ ツキが報告されている。そこで、本研究では、モニタリン グ法による NOx 排出率の信頼限界と、計測上の留意点を 明らかにするため、誤差要因の影響に関して検討した。

排ガス流量算出法にはユニバーサル炭素バランス法 (UCB 法)とユニバーサル酸素バランス法(UOB 法)がある。 UCB 法で求める排ガス流量の相対誤差は CO2 濃度の相 対誤差がそのまま伝播するが、UOB 法においては収支式 の構成上 02 濃度の相対誤差が非線形に伝播し、一般的な 計測条件では相対誤差が大きくなる。 UOB 法を用いる場 合には酸素濃度計測の精度確保に留意する必要がある。

排ガス流量の算出には燃料中成分含有量のデータが必 要となる。ある船舶の海上試験に用いたA重油、およびC 重油を 3 つの機関において分析したところ、H/C 比で A 重油の場合 1.70~2.21、C 重油の場合 1.30~1.77 の大き なバラツキが得られた。その結果 NOx 排出率にして最大 約1g/kWhの排出率値の差を算出することになる。燃料タ ンク内の不均一性に起因する誤差を生む可能性もあるた め、燃料成分分析の信頼性を高めることと、NOx 計測時 にあわせた燃料サンプルの採取が望まれる。

NOxテクニカルコードには温度と湿度に関する補正係 数KHDIESをNOx排出率に乗じるように指示されている。 自動車専用運搬船において船内の複数箇所で温度・湿度を 計測したところ、機関室と操舵室では最大で温度15 、相 対湿度65%の差が観測された。この測定では機関室が高温 低湿度であり、操舵室は低温高湿度であったため、KHDIES の値の違いは5%程度であるが、高温・高湿度で条件では 補正係数値が大きくなり、その温度・湿度依存性も敏感に なる。そのため、補正計算式の精度確認とともに、NOx 排出の実態解析のためには給気口近くでの計測が望ましい。

因としては、燃料中の窒素含有量、出力の評価方法がある。 NOx テクニカルコードに従った NOx 排出率モニタ リングでは各測定項目の誤差が蓄積し、認められる許 容幅 15%を大きく越える可能性がある。計測上の誤差 を少なくするためには、酸素分析精度の確保、計測時 の燃料サンプル採取、燃料組成分析の精度確保、機関 給気口近くでの温度・湿度測定が重要と考えられる。

さらに、陸上での台上試験と海上航行時との差異を生む要

6082 合金形材の摩擦撹拌接合継手の疲労強度

Fatigue Strength of Friction Stir Welded Joints in 6082 Aluminum Alloy with Extruded Shapes

小林佑規、佐久間正明、田中義照、松岡一祥 平成 17 年 5 月

(社)軽金属溶接構造協会 第35回研究発表会梗概集

アルミニウム合金 6082 は、押出成形性に優れていることから、船体構造用への適用性が注目されている。本研究は、6082 合金形材の摩擦撹拌接合(FSW)継手の疲労強度について検討したものである。

疲労試験は、押出形材の母材(MO-P, MO-C)、輸入市 販品の FSW 継手(FSW-H)、わが国施工の FSW 継手 (FSW-K)および MIG 突合せ溶接継手(MIG-P, MIG-C) について行った。ここで、括弧内の試験片符号 P および C は、負荷方向が押出方向と平行であるか垂直であるか を示している。試験結果は、下図の S-N 線図としてまと め、疲労強度を比較した。また、疲労き裂の発生に関し、 電子顕微鏡観察から検討した。主な結果を以下に示す。 (1) 応力範囲 Sと破断寿命 Nによる S-N線図は、 長寿命と短寿命の2つのグループに分かれた。長寿命 グループは母材の MO-P と MO-C、FSW-H であり、 短寿命のグループは MIG-P、MIG-C、FSW-K であっ た。しかし、引張強度で基準化した S/SuとNのS-N 線図では、長寿命グループが FSW-H と MIG-P であ り、この他の試験片は短寿命グループとなった。これ らの S-N 線図から、FSW 継手の疲労強度は、輸入市 販品がわが国施工品より優れていた。

- (2) 疲労き裂は、継手部よりも母材部からの発生が多い。板表面には腐食ピットや粒界腐食が観察され、腐食部には Cl や Fe が観察された。き裂発生の起点は、腐食ピットや粒界腐食にあり、板表面に存在する腐食が短寿命化を引き起こした。
- (3) 腐食後の溶接熱履歴は、腐食ピットや粒界腐食を助長し、き裂発生寿命を低下させたと考えられるが、この点については、さらなる実験的検討が必要である。

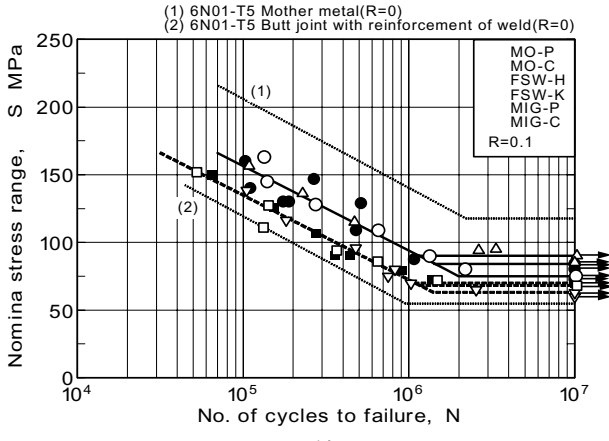


図:S-N線図

メガフロート用消波工の開発

Development of Wave Dissipation Equipments for Mega-Float

正信聡太郎、井上俊司、太田真、加藤俊司 平成 17 年 6 月

日本造船学会講演会論文集第5号

メガフロートにおいては、周辺影響緩和の観点で、 反射波の低減が求められる場合がある。浮体構造の周 縁部に付加構造を付けるのが基本的考え方となるが、 従来行われた浮体周縁構造の検討としては、浮体の減 揺を目的として行われた例は多数あるものの、反射波 低減の観点での検討は殆ど無い。そこで、本研究では、 単純かつコンパクトな形状で良好な消波性能を持つ実 用的な図1の消波工についての開発を行い、二次元水 理試験によって反射率を実験的に調査した。東京湾内 の通常時の波浪に対して反射率を 0.5 以下にすること を開発の目標性能とした。

その結果、設計条件を含む実機 3~10 秒の範囲での 平均反射率 0.5 以下を満足する消波工を選定し、その 中で前面形状が角柱形、奥行き 5m、喫水 4m、開口率 0.3 の消波工が最も反射率が小さかった。

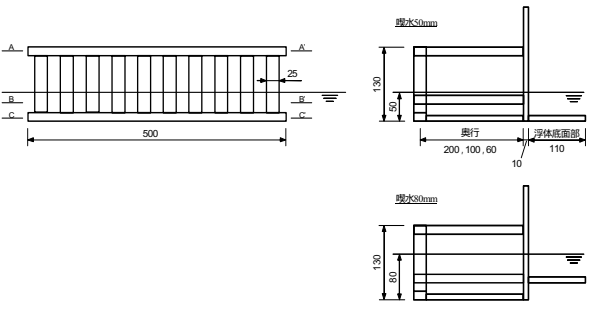


図1 消波工模型

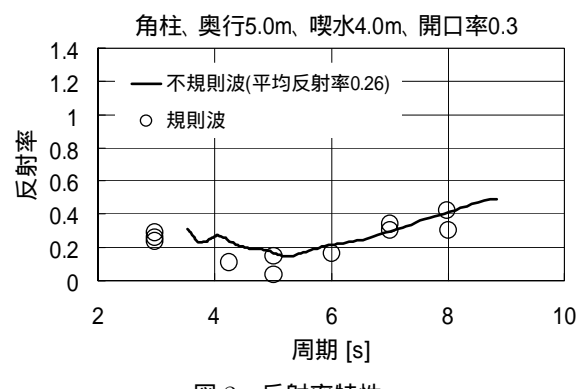


図 2 反射率特性

多孔質珪質泥岩を用いた軽量耐熱放射線遮蔽材 の開発

The Development of Lightweight Heat-Resistant Radiation Shield Using Microporous Siliceous Mudstone 村上英樹、小林祐記、大島洋紀、小田野直光、 大西世紀、近内亜紀子、中央シリカ株式会社 平成17年7月

アイソトープ・放射線研究発表会予稿集

中性子遮蔽においては、高速中性子を水素原子で減 速(熱化)させ熱中性子との反応断面積の大きい元素(例 えば 10B や 6Li)に吸収させる方法が一般的であるが、 減速材として水やポリエチレンを用いているため耐熱 性を兼ね備えた中性子遮蔽方法は少ない。本研究は、 軽量で耐熱性・耐酸性が高い中性子遮蔽材を、天然に 産する多孔質珪質泥岩を用いて製作することを目的と している。我々は秋田県に多産するものの未だ高度利 用化されていない多孔質珪質泥岩に着目し、今回の実 験では吸着物のない珪質泥岩について遮蔽実験を行っ た。その結果、これらが中性子に対する放射線遮蔽材 の基礎素材として優れた特性を持っていることを明ら かにした。

遮蔽性能実験は以下の手順で行った。秋田県男鹿半 島女川層から採取した珪藻土を砕き、径 1~3mm に大 きさを揃えたものを 80×80cm² の薄ベニヤ板で挟み、 厚さ 5cm の試験体を複数枚製作した。中性子源カリフ ォルニウム(252Cf)を用いて中性子照射を行い、珪藻土 試験体と同形状の普通コンクリートの遮蔽性能を、試 験体枚数に対する中性子及びガンマ線の透過量で比較 した。その結果、珪藻土はそれ自身で中性子遮蔽を行 うことが可能であることが確認された。これは多孔質 の珪藻土が多量の水素をシラノール基として広大な表 面積に保持しているためであると考えられる。また、 珪藻土は約0.67と比重が小さいため、比重2.36の普 通コンクリートと同質量で比較した場合、約2倍の中 性子遮蔽性能があった。

今後は珪藻土の多孔軽量特性を生かした更なる性能 向上を計画している。現在は熱中性子吸収断面積が大 きいホウ素及びガンマ線遮蔽に効果があるジルコニウ ムを珪藻土に吸着させた放射線遮蔽材を開発中である。 また、天然でジルコニウムと共存するハフニウムにも 中性子遮蔽効果がある。ハフニウムにはランタノイド 収縮が起きているので同じイオン半径の元素よりも電 子密度が高く、高いガンマ線遮蔽性能も期待できる。 ハフニウムを吸着添加することで、水素が離脱する 700 以上においても珪藻土の融点 1713 まで安定 な耐高熱放射線遮蔽材が可能であると考えている。

メガフロートに作用する波浪中定常上下力について

Vertical Drift Forces on the Mega-Float in Waves

> 加藤俊司、正信聡太郎、井上俊司 平成 17 年 6 月

日本造船学会講演会論文集第5号

羽田空港再拡張事業に対し、多摩川にかかる部分を 櫛型浮体にし、それ以外を箱型浮体とするいわゆる櫛 型・箱型複合メガフロートが提案された。櫛型メガフ ロートに対し、ある特定の波周期において浮き上がり 方向に定常力が生じることが水槽模型試験により判明 した。そこで、メガフロートに作用する波浪中定常上 下力について、近場法による波漂流力を求める手法に より数値的に調査し、定常浮き上がり力がたしかに生 じること及び数値計算結果は模型試験結果と良く一致 することが確認された。最終的に、本数値手法を用い て櫛型・箱型複合メガフロートに作用する波浪中定常 上下力を調査した。その結果、定常上下力によって生 じる定常変位が設計上問題とならないことが判明した。 なお、本研究は造船業界が結成した羽田再拡張事業浮 体共同事業体設立準備室が行った検討の一部が含まれる。

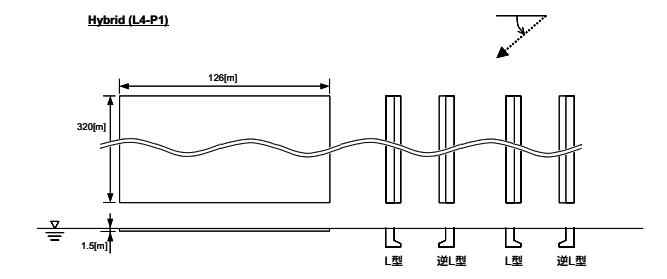


図 1 櫛型・箱型複合浮体

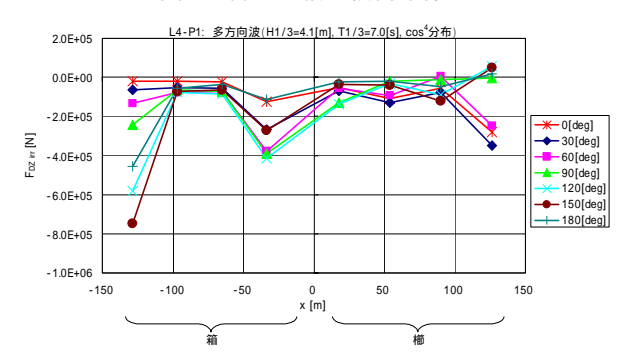


図2 多方向不規則波中の定常上下力分布 図2は、図1の箱型浮体を4つの要素浮体に分割し、 要素浮体の中点座標を横軸に定常上下力分布を示して いる。不規則波の条件として、有義波高 4.1m,有義波 周期 7.0 秒、方向分布関数は cos⁴ 則を用いた。

ほとんどの波向きで定常沈下力が生じている。箱型 部の端部要素の沈下力が他の要素浮体に比べて大きい が、絶対値としては最大 800[kN]程度、この量は要素 浮体の喫水変化として 8[mm]程度であり、設計上問題 とならないことがわかる。

船型設計のための流体シミュレーション技術

Computational Fluid Dynamics Technology for Ship Hull Form Design

> 日野孝則 平成 17 年 4 月 RIST ニュース

CFD(Computational Fluid Dynamics 計算流体力学) は、流体方程式の数値解法であり、流体現象をシミュレーションすることによって種々の解析を行う技術である。 CFD は汎用技術であり、その適用範囲は幅広いが、船型設計においては、流体力学的性能の推定に用いられている。

船型設計における性能推定にはこれまで水槽試験が用いられてきたが、縮小模型を使うことに伴う尺度影響や、多大なコストと労力、また、結果を得るまでの時間の長さなどの問題がある。CFD は、水槽試験を補完して効率的な船型設計を実現するための解析ツールとして期待されている。

ここでは、船型設計のための流れのシミュレーション技術の現状を概観するとともに、CADと CFD を統合する船型設計システムのコンセプトについて述べる。下図はコンテナ船まわりの波紋および肥大船のプロペラ位置での流速分布の CFD 解析と実験値の比較である。

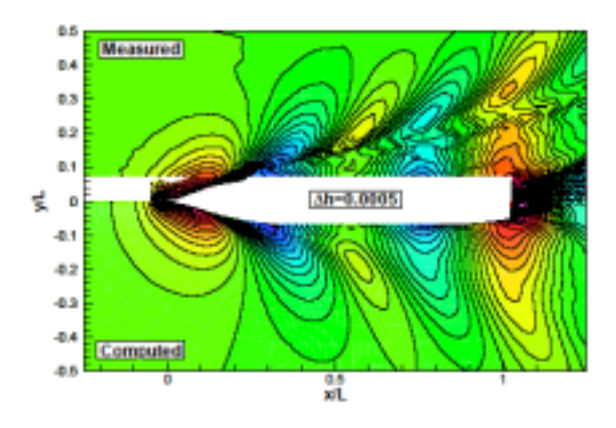


図:コンテナ船まわりの波紋の比較 (上:計測結果、下:計算結果)

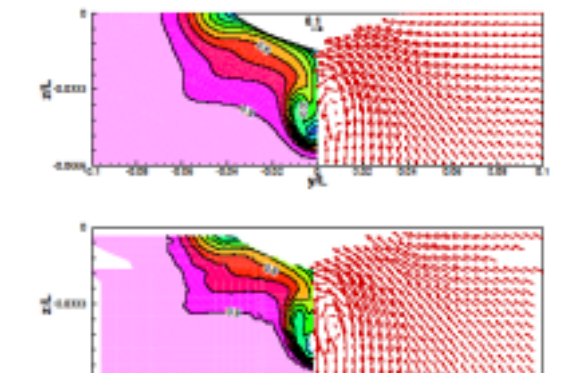


図:プロペラ位置における流速分布 (上:計算結果、下:計測結果)

ポッドを装備した船舶の位置制御に関する模型 試験

Model Experiment on Positioning of a Ship with Podded Propulsion System 框野純、原口富博、塚田吉昭 平成 17 年 6 月 日本造船学会講演会論文集第 5 号

国土交通省からの委託を受け、当所では、電気推進式ポッドを装備した新型船、スーパーエコシップの研究開発を実施している。ポッド船は、ポッド本体を回頭させることにより、任意の方向に推力を出力することが可能であるため、離着桟時の操縦性能が高い。しかし、従来船の操船に慣れている操船者にとって、ポッド船を任意の位置へ誘導することは、多くの困難を伴うと予想できる。そこで本研究では、離着桟時に度々使用される横移動、及びその場回頭操船の自動化を目的に、制御システムを開発し、ポッド船を模擬した自航模型を用いて位置制御実験を行った。

従来の研究では、在来船を対象に、操縦運動モデル を用いた最適着桟制御システムの開発が行われている。 しかし、ポッド船については、最適着桟制御システム の設計に適用可能な操縦運動モデルが提案されていな い。そこで、操縦運動モデルを用いずに、操船経験者 の操船感覚を組み込んだファジィ制御を利用する事と した。ファジィ制御の前件部には、船首方位偏差、ヨ ーレート、位置偏差および船体移動速度を、ファジィ 制御の後件部には、バウスラスタのプロペラ回転数、 ポッド回転角およびポッドプロペラの回転数を採用し た。そして、メンバーシップ関数およびルールテーブ ルについては、バウスラスタ旋回実験、ポッド旋回実 験、及び手動操船の結果を基に作成した。下図は、当 所三鷹第1水槽で行った自動制御実験の一例で、横移 動実験中の航跡である。 風速 7[m/s]の強い外乱中にお いて、前後位置の追従精度は、1/8[L]以下であった。 この結果より、本研究で開発した制御システムが有効 であることが確認できた。なお、論文中では、提案し た手法および実験の詳細について述べている。

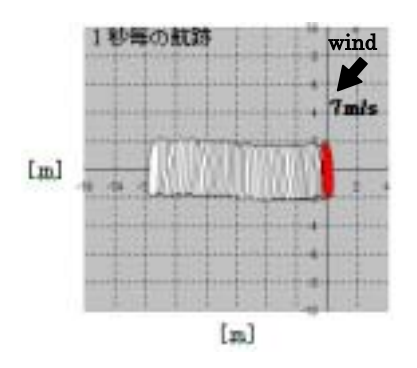


図:横移動実験中の航跡

バルクキャリアの耐航性能に及ぼす乾舷の影響 について

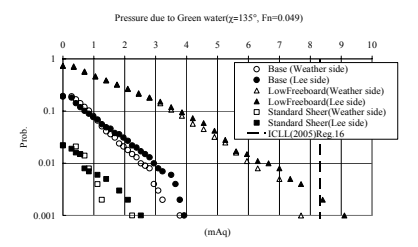
The Effect of Freeboard on the Seakeeping Performance of a Bulk Carrier 小川剛孝、石田茂資 平成17年6月 日本造船学会講演会論文集第5号

国際海事機関(IMO)において満載喫水線条約の見直 しが行われている。現在、乾舷表の見直しを中心に作 業が進められており、著者らはこの中で技術的観点か ら乾舷の設定方法を検討している。

はじめに、現行条約策定時の技術的検討を総括して、乾 舷が船舶の安全のために果たす役割を整理した。この結果、 乾舷の主な目的は海水打ち込みの制限であり、船内浸水防 止、船員保護及び甲板上構造物保護のための要件を課すこ とで、ある程度のレベル(冠水確率)の海水打ち込みを許容 する設定が適切であることを確認した。また、乾舷の種類 が異なる船舶の安全性を等価にするためには、現行条約で 規定されている損傷時復原性要件ではなく船内浸水防止 のための要件等を用いる必要があることも明らかにした。

つぎに、現存船の冠水確率を把握するために、条約と 同じ乾舷で航行するバルクキャリア及びタンカーの冠 水確率を計算した。これらの冠水確率から、船の長さと 冠水確率は強い相関を持つことや同じ船の長さでも乾 舷の種類により冠水確率が異なることを明らかにした。

しかしながら、冠水確率だけをもとに乾舷を設定するこ とは不十分であり、波浪中での耐航性能及びこれに関連す る安全基準との関係から設定する必要がある。そこで、乾 舷及び舷弧の異なる 3 隻のケープサイズバルクキャリア を用いた波浪中模型実験を行った。実験では、波浪中での 耐航性能の評価指標となる船体運動、上下加速度、波浪荷 重、相対水位及び打ち込み水圧の超過確率を計測した。乾 舷及び舷弧が波浪中船体応答に及ぼす影響を検討した結 果、舷弧の有無は船体運動に大きな影響を及ぼさないが、 舷弧により船首から打ち込む波の大きさと打ち込み水圧 が変わることがわかった。これに対して、乾舷は、対応す る喫水と喫水が変わることによる重量分布の変化が船体 運動に大きな影響を及ぼす。さらに、乾舷の高さが打ち込 み水圧に及ぼす影響も大きいことが明らかとなった。



打ち込み水圧の超過確率(S.S.9、斜向波、有義波高 10.1m、平均波周期 13.1 秒、Fn=0.049)

(丸:母船型、三角:乾舷を低くした場合、四角:標準 舷弧を取り付けた場合)

The Effect of a Bow Flare Shape on the Water Impact Pressure

衝撃圧に対する船首フレア形状の影響 小川剛孝、松波亮樹、荒井誠 平成 17 年 6 月

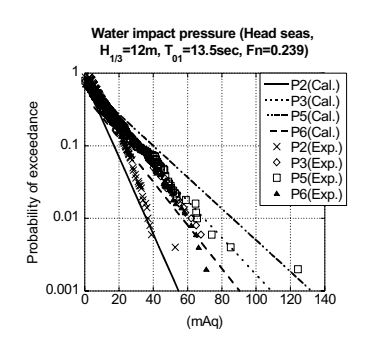
Proceedings of the 15th International Offshore and Polar Engineering Conference (ISOPE2005)

フレアスラミングによる衝撃圧は、コンテナ船の波浪荷 重を検討する上で重要な事項である。現状では、損傷事例 と整合性がとれた半実験式が設計指針として用いられて いる。近年、ポストパナマックスコンテナ船のように大型 化したコンテナ船が多数運航するようになった。これらの コンテナ船のフレア角は、実験式を作成した当時のコンテ ナ船に比べて大きくなっている。そのため、衝撃圧の尺度 影響だけでなく船体と波との相対関係及びこれらと衝撃 圧の関係を改めて定量的に検討する必要がある。

この事を背景として、ポストパナマックスコンテナ船の フレアスラミングによる衝撃圧データの取得を目的とし た大波高中での模型実験を実施した。また、当所で開発し た大波高中船体運動計算法 NMRIW を用いて船体運動及 び衝撃圧を計算し、実験値と比較した。 NMRIW は、時々 刻々の水面下形状に対するラディエイション及びディフ ラクション流体力を用いて船体運動を計算する時系列計 算法である。また、Horizontal Body 座標系を用いること で、回転運動を近似することなく波浪中船体運動方程式に 操縦流体力を加えることができる。これにより、斜波中で の時系列計算を安定して行なうことができる。

NMRIW による船体運動振幅と位相及び衝撃圧の極大値 は実験値とよく一致しており、時々刻々の水面下形状に対 する流体力を用いることで、波高に対して非線形である大 波高中での船体運動を精度よく推定できることを検証した。

さらに、実験式を用いずにフレアスラミングの検討 を可能にするために、衝撃圧の超過確率を理論的に求 めた。入力となる相対水位は大波高中で波高に対して 非線形となるので、NMRIW を用いて推定した。本研 究で求めた衝撃圧の超過確率は、衝撃圧が大きくなる につれて実験値とよく一致しており、フレアスラミン グの検討に対して有用であることがわかる。



フレアスラミングによる衝撃圧の超過確率 (正面向波、有義波高 12m、平均波周期 13.5 秒、Fn=0.239)

海洋肥沃化装置「拓海」のライザー挙動特性 について

Behavior of Riser Pipe for Upwelling Deep Ocean Water

前田克弥、宮部宏彰、田村兼吉 平成 17 年 5 月

第73回マリンエンジニアリング学術講演会

本稿は、現在相模湾沖において稼働中の海洋肥沃化 装置「拓海」に取り付けられている深層水取水用のラ イザー管の挙動特性について検討したものである。

深層水取水用のライザー管は全長 175m、内径 1.0m、外径 1.062m であり、高張力鋼を用いて作製されたものである。このライザー管は「拓海」の浮体下部に 2本のチェーンにより吊り下げられる格好で設置されており、常時水深 200m の深層水を日量 10 万トン、汲み上げるために用いられている。また、このライザー管には,上端部より 85m の位置に歪みゲージが 8ヶ所取り付けられており、その計測が行われている。本稿ではその計測方法、計測結果及び解析結果について紹介している。

これまでに得られた計測データから、ライザー管は 潮流、波浪及び浮体動揺などの影響を受けながら複雑 な挙動を示していることが分かっている。浮体動揺と の関連については下図に示すように、横揺のピーク周 波数に歪みの応答成分が存在し、相関関係が見られる。 一方、縦揺のピーク周波数には歪み成分が見られない ことから、相関関係は非常に小さいことが分かっている。

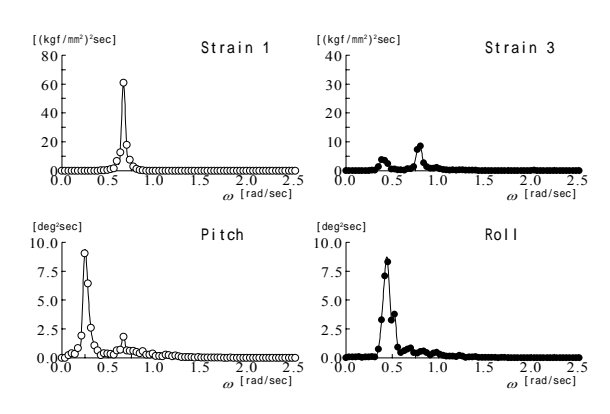


図: 歪みのパワースペクトル及び浮体縦揺、横揺の パワースペクトル

一様流中の円柱に作用する VIV への表面粗度の 影響

Experimental Study on Vortex-Induced Vibration of Horizontal Circular Cylinder in Towing Tank

田村兼吉、國分健太郎、伊藤和彰平成 17年5月

第73回マリンエンジニアリング学術講演会

ライザーは海洋石油掘削・生産、海洋温度差発電、マントルの採取等の用途に用いられる。ライザーに関する諸問題で特に問題とされているものは、ライザー周りで生じる非定常な渦剥離により引き起こされる振動である。この振動は Vortex-induced Vibration (以下 VIV)と呼ばれており、ライザーの疲労破壊の原因であるとされている。このため、VIV を含む流体力を精度良く評価することがライザーの設計において最も重要である。

ライザー周りでの渦剥離は、ライザーの表面の形状、 粗度により大きく変化する。本論では、一様流中の円柱 に作用する VIV への表面粗度の影響について実験的に 調査を行った。ライザー実機に近いレイノルズ数を得る ために、直径 0.26m の円柱模型を用いてこれを曳航し、 流体力を測定した。このとき、バネを用いて円柱模型の 水平方向と垂直方向の拘束条件を両拘束、水平拘束、両 非拘束の 3 種に変更し、VIV による円柱の挙動の計測 を行った。また、粗度面を 2 種類作成し、表面粗度の 変化による影響を調査し、以下の結果を得た。

- 1)図1より、高レイノルズ数域では表面粗度が増加するに従い、抗力係数も増加する。
- 2) 図 2 より、円柱の揚力方向の挙動は、拘束条件が水 平 拘 束 の 時 、 表 面 粗 度 が Rough # $1(k/D=1.939\times10^{-4})$ のものが広範囲でピークを持つ。

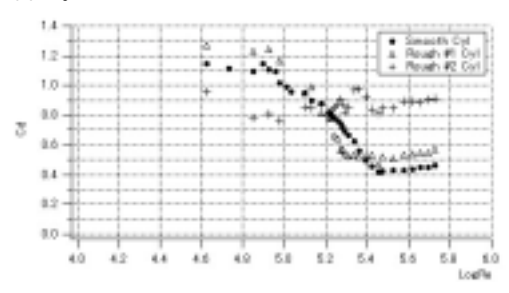


図1 抗力係数の比較

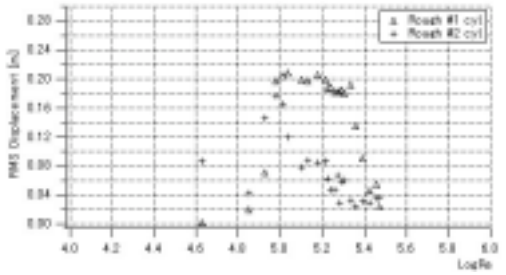


図2 揚力方向の挙動への表面粗度の影響

Suppression of Combustion Noise and Combustion Oscillation by Thermo-Acoustic Active Control Using Secondary Flame

2次火炎を用いた熱音響的能動制御による燃焼 騒音及び振動燃焼の抑制

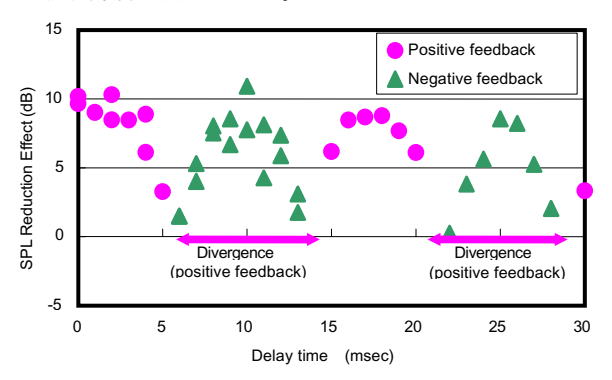
井亀優、岸武行、春海一佳、平岡克英、岡秀行 佐藤博之、林光一、西留千晶、梶原逸朗、小川哲 平成 17 年 6 月

Proceedings of ASME Turbo Expo 2005

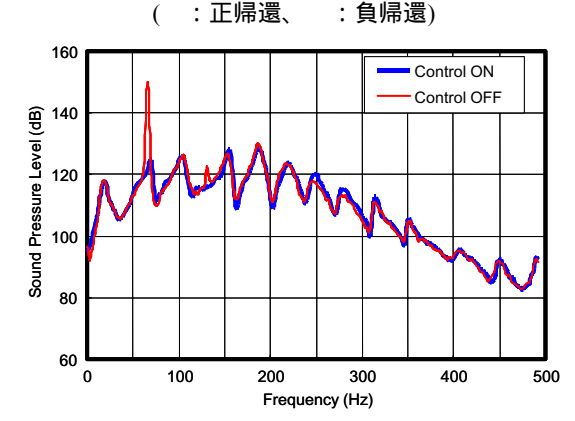
NOx 排出を最小限に抑えるための低環境負荷燃焼技術として希薄予混合燃焼があげられる。しかし、希薄予混合燃焼は逆火、吹き消え、燃焼騒音・振動燃焼といった不安定現象を生じやすく、運転範囲が限られてしまう。本研究では、希薄予混合燃焼における燃焼騒音・振動燃焼抑制を2次火炎を用いることで抑制する制御システムを構築し、その有効性を実験的に確認した。

まず、時間遅れ制御により、10dB 以上の圧力変動 抑制を実現した。抑制効果は時間遅れについて周期的 であり、圧力変動を圧力変動で打ち消す能動騒音制御 の原理に基づき振動燃焼抑制がなされていることが確認された。

さらに、能動騒音制御で用いられる H_2/H 混合アルゴリズムを用いたコントローラを設計し 30dB 近い振動燃焼抑制が実現された。



時間遅れ制御における効果の周期性



H₂/H_∞混合制御による振動燃焼抑制

Roll Motion of Ro-Ro Passenger Ship with Flooded Vehicle Deck

浸水車両甲板を有するRo-Ro客船の横揺れ運動 藤原敏文、原口富博 平成17年6月

International Journal of Offshore and Polar Engineering

1994年のRo-Ro客船エストニア号沈没事故は、船首から 海水が車両甲板上に多量に進入し、復原性能を悪化させた ことが原因であると考えられている。その様な事故を再発 させないためにIMO(国際海事機関)では、船の安全性を確 保するための検討が行われてきた。

本論文では、Ro-Ro客船の損傷時復原性を検討するために、船内滞留水を有する船の横揺れ運動推定法の有効性について調査した。復原性基準で対象としている横波で前進速度が無い状態を想定し、運動推定モデルは横揺れと滞留水の変動を連成させた2自由度運動方程式とした。推定結果と比較を行うために当所実験水槽にて横波中運動計測実験を実施した。実験状態は波周期、波傾斜を変化させた。また、2種類の滞留水量で横揺れ運動の違いを調査した。

その結果、以下のことが明らかになった。

- 1)横揺れと滞留水の変動を連成させた2自由度運動方程式による計算結果は、実験結果とほぼ一致した(下図参照。なお、縦軸は無次元横揺れ角、横軸は無次元波周期を示す。)。
- 2)実験では同調横揺れ周期付近で滞留水の影響による非定常運動が発生した。計算結果にも同様の現象が現れ、推定法の有効性が確認できた。
- 3)従来の運動推定モデルでは、滞留水の変動が省略される場合もあった。しかし、本検討により横揺れ運動を推定する上でその影響は非常に大きく、無視できないことが明らかになった。損傷・浸水時での船の安全性を検討する際には、滞留水変動を船体運動モデルに含めた計算を行う必要がある。

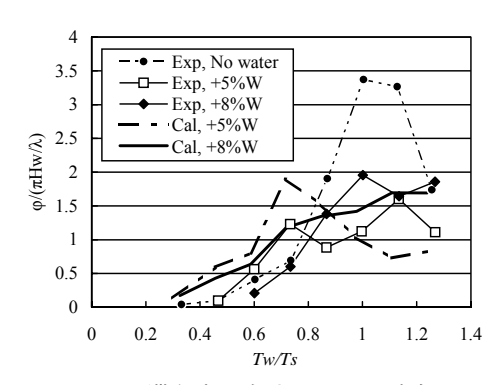


図:滞留水を有する Ro-Ro 客船の 横揺れ運動推定結果と実験結果の比較